

# 己糖激酶介导小豆蔻明改善血管平滑肌细胞糖代谢的作用 \*

牛培广<sup>1</sup> 张钰璇<sup>2</sup> 史道华<sup>2△</sup>

(1 福建医科大学福总临床医学院药学科 福建福州 350108;2 南京军区福州总医院药学科 福建福州 350025)

**摘要 目的:**探讨小豆蔻明对胰岛素抵抗状态(IR)血管平滑肌细胞(VSMCs)糖代谢的影响及其作用机制。**方法:**采用高糖( $2.5 \times 10^2 \text{ mol} \cdot \text{L}^{-1}$ )高胰岛素( $100 \text{ U} \cdot \text{L}^{-1}$ )培养VSMCs, 72 h后加入小豆蔻明培养48 h, 观察培养液中葡萄糖消耗量、细胞内己糖激酶活性以及细胞增殖。**结果:**高糖高胰岛素培养72 h后, 血管平滑肌细胞糖消耗量降低( $P<0.01$ );小豆蔻明能显著性增加IR细胞的平均糖消耗量( $P<0.01$ ), 增强己糖激酶活性( $P<0.01$ );同时明显抑制高糖高胰岛素引起的VSMCs增殖( $P<0.01$ )。**结论:**小豆蔻明能增强己糖激酶活性, 改善IR状态下细胞糖代谢;同时抑制高糖高胰岛素刺激引起的VSMCs异常增殖。

关键词: 小豆蔻明; 胰岛素抵抗; 糖消耗; 己糖激酶

中图分类号: R965, R977.15 文献标识码: A 文章编号: 1673-6273(2011)04-653-04

## Improvement Effects of Cardamonin on Glucose Metabolism of Vascular Smooth Muscle Cells Induced by Hexokinase\*

NIU Pei-guang<sup>1</sup>, ZHANG Yu-xuan<sup>2</sup>, SHI Dao-hua<sup>2△</sup>

(1 Department of Pharmacy, Fuzhou Medical school of Fujian Medical University, Fuzhou 350108, China;

2 Department of Pharmacy, Fuzhou General Hospital of Nanjing Military Command, Fuzhou 350025, China)

**ABSTRACT Objective:** To investigate the effects of cardamonin on regulation of glucose metabolism on the vascular smooth muscle cells (VSMCs) and its possible mechanism in the insulin-resistant condition. **Methods:** VSMCs were cultured in high glucose ( $2.5 \times 10^2 \text{ mol} \cdot \text{L}^{-1}$ ) and high insulin ( $100 \text{ U} \cdot \text{L}^{-1}$ ) medium for 72 hours, then cardamonin was added to incubate for 48 hours. Glucose consumption, hexokinase activity and proliferation of VSMCs were measured in the experiment. **Results:** Cultured with high glucose and high insulin for 72 hours, glucose consumption of VSMCs was significantly decreased ( $P<0.01$ ). Cardamonin significantly increased the glucose consumption and hexokinase activity of VSMCs in IR state ( $P<0.01$ ) and inhibited the proliferation induced by high glucose and high insulin ( $P<0.01$ ). **Conclusion:** The results suggested that cardamonin could improve the glucose metabolism and inhibit the proliferation of VSMCs in the IR condition, which might be related to enhancement of hexokinase activity.

**Key words:** Cardamonin; Insulin Resistance; Glucose Consumption; Hexokinase

**Chinese Library Classification:** R965, R977.15 **Document code:** A

**Article ID:** 1673-6273(2011)04-653-04

### 前言

胰岛素抵抗(Insulin Resistance, IR)状态下机体组织、器官对胰岛素的敏感性降低,体内糖代谢紊乱,胰岛素和血糖水平相对升高。高糖可激活多种生长因子,引起血管平滑肌细胞(vascular smooth muscle cells, VSMCs)过度增生<sup>[1]</sup>,而VSMCs异常增殖是动脉粥样硬化、高血压和血管再狭窄等多种血管疾病的共同的病理基础。因此,改善IR,增加机体糖代谢可成为防治血管增殖性疾病的重要措施。

小豆蔻明(Cardamonin, CAR)为姜科山姜属植物草豆蔻种子中的主要黄酮类单体,在体内主要通过肝微粒体中P450同功酶CYP1A2和CYP2E1代谢<sup>[2]</sup>。研究显示,CAR具有舒张血管的作用,其机制与增加一氧化氮(NO)生成、阻滞蛋白激酶C(PKC)诱导的血管收缩有关<sup>[3]</sup>;同时,CAR还可通过阻断Ca<sup>2+</sup>

离子通道,激活K<sup>+</sup>离子通道引起血管舒张<sup>[4]</sup>。郑炜<sup>[5]</sup>等证实CAR能抑制高糖高胰岛素引起的VSMC异常增殖,其作用机制与哺乳动物雷帕霉素靶蛋白(mTOR)通路密切相关;另有研究表明CAR能通过抑制mTOR活性逆转高果糖诱导的IR大鼠血管增生性病变,同时改善整体动物IR状态,降低空腹血清胰岛素含量和胰岛素抵抗指数,增强胰岛素敏感指数<sup>[6]</sup>。CAR是否通过改善IR状态时糖代谢,进而逆转其诱导的血管增生性病变少见报道。本文主要考察CAR对IR状态下VSMCs增殖、糖消耗及己糖激酶活性的影响。

### 1 材料和方法

#### 1.1 材料

RPMI-1640干粉培养基,Gibco公司;小牛血清,杭州江滨生物技术公司;胰岛素注射液,江苏万邦生化医药股份有限公

\* 基金项目:福建省自然科学基金项目(2008J0103)

作者简介:牛培广(1983-),男,硕士研究生 研究方向:心血管药理学。电话:13645089298, E-mail:npg4031@163.com

△通讯作者:史道华,男,教授 研究方向:心血管药理学与临床药学, Tel:0591-22859416,

Fax:0591-83739964,E-mail:shidh@yeah.net

(收稿日期:2010-11-05 接受日期:2010-11-30)

司(400 U:10 mL);葡萄糖,天津市科密欧化学试剂开发中心;盐酸吡格列酮(PIO),原料药,杭州中美华东制药有限公司(批号030101);小豆蔻明(CAR),中国药品生物制品检定所(批号:110763-200302);四甲基偶氮唑盐,Sigma公司;葡萄糖检测试剂盒,宁波美康生物科技有限公司;己糖激酶测试盒,南京建成生物工程研究所;其他常规试剂均为国产分析纯。

## 1.2 主要仪器

MCO-20AIC型二氧化碳培养箱,日本三洋公司;YJ-1450B型医用净化工作台,苏州中亚净化设备有限公司;AFX-DX型倒置显微镜,日本Nikon公司;酶联免疫检测仪(Moder 680):BIO-RAD公司;TU-1901型双光束紫外可见分光光度计,北京普析通用仪器有限公司。

## 1.3 血管平滑肌细胞的培养

采用组织贴块法培养人脐动脉VSMCs。分离人脐动脉,用D-Hank's液清洗干净,剥除脐动脉外膜,纵向剪开血管,刮除血管内膜。将动脉中膜切成1-2 mm<sup>2</sup>的小块,均匀贴于25 cm<sup>2</sup>的培养瓶内,用含20%胎牛血清的1640培养基,37℃、5% CO<sub>2</sub>的培养箱中培养。待细胞长满瓶底后,用含10%小牛血清RP-MI-1640培养基按1:3传代培养,每3 d换液一次。每7 d传代一次。4-10代细胞用于实验。

## 1.4 胰岛素抵抗模型的建立

采用高糖高胰岛素培养基(在正常培养基中分别葡萄糖和胰岛素至终浓度为2.5×10<sup>-2</sup> mol·L<sup>-1</sup>和100 U·L<sup>-1</sup> Ins)诱导培养法复制胰岛素抵抗模型。VSMCs以1×10<sup>4</sup>/孔密度接种于96孔板中,每孔200 μL。细胞贴壁后同步化培养过夜,用不含小牛血清的1640培养液洗涤两次。加入高糖高胰岛素的培养液于37℃、5% CO<sub>2</sub>,培养箱中培养72 h。分别于24、48、72、96 h测定培养基中葡萄糖的消耗量。

## 1.5 实验分组

普通培养基培养和IR培养细胞分别设立细胞对照组、溶剂对照组(0.1% DMSO),阳性对照吡咯列酮组(10<sup>-5</sup> mol·L<sup>-1</sup>)及试药CAR组(10<sup>-7</sup>、10<sup>-6</sup>、10<sup>-5</sup> mol·L<sup>-1</sup>)。

## 1.6 四甲基偶氮唑盐(MTT)法测定细胞增殖

弃96孔板中培养基,每孔加入MTT混合溶液(MTT浓度为5 g·L<sup>-1</sup>,与培养基1:9混合)200 μL,37℃继续培养4 h;弃去孔内上清液,每孔加入150 μL DMSO震荡15 min;以不含细胞的培养基空白孔调零,490 nm波长,酶联免疫检测仪测定各孔吸光度。

## 1.7 葡萄糖消耗测定

取对数生长期细胞接种于96孔板中,按上述方法复制IR模型。更换新的高糖高胰岛素培养基并分别加入吡格列酮、小豆蔻明,设立正常对照组。孵育48 h后吸出培养液,用己糖激酶法检测培养液中的葡萄糖含量。以未接种细胞的空白复孔葡萄糖含量均值为基础值,计算各孔细胞葡萄糖消耗量。采用培养基中糖消耗量(glucose consumption, GC)与MTT的比值(GC/MTT)表示细胞的平均糖消耗水平,排除细胞数目的影响。

## 1.8 己糖激酶活性测定

采用葡萄糖-6-磷酸脱氢酶偶联比色法。取对数生长期VSMCs接种于6孔板中,细胞密度为2×10<sup>5</sup>个/孔,按上述

方法复制IR模型。更换新的高糖高胰岛素培养基并分别加入吡格列酮、小豆蔻明,设立正常对照组。培养48 h后,弃上清,预冷的PBS洗涤细胞,加入250 μL匀浆缓冲液,用细胞刮将细胞刮下,吹打细胞使其完全分散,将缓冲液转移至微量离心管中,在冰上匀浆破碎,12000 rpm,4℃离心15 min,取上清液按试剂盒说明书检测己糖激酶活性。考马斯亮兰法测定蛋白含量。

## 1.9 统计分析

成组数据用均数±标准差( $\bar{X} \pm S$ )表示,统计学软件使用SPSS16.0,多组间比较采用单因素方差分析,两样本均数比较采用Student's t检验,界定P<0.05为差异有统计学意义。

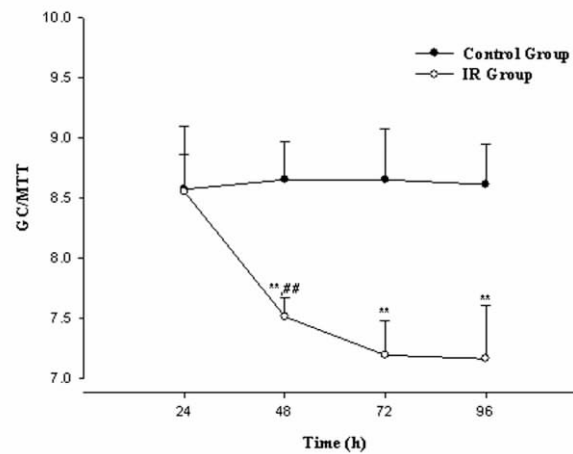
## 2 结果

### 2.1 IR 血管平滑肌细胞糖消耗变化

普通培养基培养VSMCs过程中正常对照组细胞每日葡萄糖平均消耗量无显著性改变;与正常组相比,48 h后高糖高胰岛素培养的VSMCs葡萄糖平均消耗量明显降低(P<0.01);培养72 h后,糖消耗量降低最明显,96 h葡萄糖平均消耗量降低与72 h时无显著差异(图1)。

图1 高糖高胰岛素培养对VSMCs糖消耗量/MTT(GC/MTT)的影响

Fig 1 Effect of high glucose and high insulin medium on glucose consumption/MTT(GC/MTT) of VSMCs



Note: IR stands for insulin resistance; \*\*P<0.01 Compared with Control Group; ##P<0.01 Compared with 24h cultured with high glucose and high insulin of IR Group.

### 2.2 小豆蔻明对IR血管平滑肌细胞糖消耗影响

DMSO溶剂对正常和IR培养的VSMCs糖消耗及增殖均无明显影响。CAR明显抑制胰岛素抵抗状态下VSMCs增殖,其中高剂量组(10<sup>-5</sup> mol·L<sup>-1</sup>)作用最明显(P<0.01);同时CAR能明显增加IR细胞的葡萄糖均消耗量(P<0.01),但各剂量组间无显著性差异,均比吡格列酮(10<sup>-5</sup> mol·L<sup>-1</sup>)作用弱(表1)。

### 2.3 小豆蔻明对IR血管平滑肌细胞己糖激酶活性影响

IR培养状态下,VSMCs己糖激酶活性显著性降低(P<0.01);DMSO溶剂对正常培养和IR培养细胞己糖激酶活性无影响。CAR能增强IR细胞己糖激酶活性(P<0.01),其中高剂量作用更加明显,且强于吡格列酮(10<sup>-5</sup> mol·L<sup>-1</sup>)(表2)。

表 1 小豆蔻明对 IR 血管平滑肌细胞糖消耗的影响 ( $\bar{X} \pm S$ , n=6 )  
 Tab 1 Effect of cardamonin on glucose consumption of insulin-resistant VSMCs

Groups	Glucose	Consumption GC( mmol·L <sup>-1</sup> )	MTT GC/MTT
Control Group	4.61± 0.34	0.533± 0.033	8.61± 0.31
Solvent Group	4.63± 0.32	0.570± 0.034	8.37± 0.23
IR Group	4.68± 0.29	0.654± 0.015**	7.07± 0.14**
IR Solvent Group	4.70± 0.17	0.662± 0.028**	7.13± 0.17**
IR+PIO ( 10 <sup>-5</sup> mol·L <sup>-1</sup> )	5.19± 0.24	0.549± 0.031##	9.41± 0.56##
IR+CAR( 10 <sup>-7</sup> mol·L <sup>-1</sup> )	4.97± 0.12	0.588± 0.021#	8.46± 0.31##
IR+CAR( 10 <sup>-6</sup> mol·L <sup>-1</sup> )	4.96± 0.46	0.569± 0.013##	8.72± 0.47##
IR+CAR( 10 <sup>-5</sup> mol·L <sup>-1</sup> )	4.01± 0.29	0.443± 0.027##	8.90± 0.71##

Note: \*\*P<0.01 Compared with Control Group; #P<0.05, ##P<0.01 Compared with IR Group.

表 2 小豆蔻明对 IR 血管平滑肌细胞己糖激酶活性的影响 ( $\bar{X} \pm S$ , n=6 )  
 Tab 2 Effect of cardamonin on hexokinase activity of insulin-resistant VSMCs

Groups	Hexokinase Activity(U/g pro)
Control Group	7.42± 0.26
Solvent Group	7.33± 0.29
IR Group	5.67± 0.15**
IR Solvent Group	5.46± 0.22**
IR+PIO ( 10 <sup>-5</sup> mol·L <sup>-1</sup> )	7.34± 0.35##
IR+CAR( 10 <sup>-7</sup> mol·L <sup>-1</sup> )	7.00± 0.24##
IR+CAR( 10 <sup>-6</sup> mol·L <sup>-1</sup> )	7.66± 0.31##
IR+CAR( 10 <sup>-5</sup> mol·L <sup>-1</sup> )	8.63± 0.19##

Note: \*\*P<0.01 Compared with Control Group; ##P<0.01 Compared with IR Group.

### 3 讨论

在细胞水平上对 IR 的研究中常需要使用 IR 细胞模型<sup>[7]</sup>。肝脏细胞和平滑肌细胞内可进行多种与糖代谢有关的生化反应,包括葡萄糖摄取、葡萄糖有氧氧化及糖原合成等;同时肌肉和肝脏是机体产生 IR 的主要部位<sup>[8]</sup>。因此,平滑肌和肝脏细胞是研究 IR 的理想细胞。目前,已建立的 IR 细胞模型包括 3T3-L1 脂肪细胞<sup>[9]</sup>、HepG2 肝癌细胞<sup>[7]</sup>以及 L6 成肌细胞<sup>[10]</sup>,这些细胞模型多采用高胰岛素诱导培养、高葡萄糖培养、游离脂肪酸诱导以及肿瘤坏死因子(TNF-α)刺激等方法。Begum<sup>[11]</sup>等采用高糖高胰岛素培养的方法建立了血管平滑肌细胞的 IR 模型。IR 状态下,组织细胞对生理浓度的胰岛素的反应性不敏感,胰岛素信号通路受阻,胰岛素不能发挥正常的生理作用,最终导致糖代谢平衡受损,引起糖吸收、糖酵解、糖原合成降低。本研究采用高糖高胰岛素培养的方法诱导建立 VSMCs 胰岛素抵抗模型,并检测葡萄糖的消耗量。结果证实高糖高胰岛素培养 48 h 后,VSMCs 糖消耗量显著性降低,糖代谢受到抑制;培养 72 h 后糖消耗量降低最明显。由于糖尿病发病时伴有一种心血管疾病,而血管平滑肌细胞的病变在这些疾病的发生发展

中起重要作用,因此 VSMCs 胰岛素抵抗模型对糖尿病引发的血管病变的研究具有重要价值。

血糖升高是引起各种糖尿病血管并发症的主要原因。高糖刺激 VSMCs 由收缩型向合成型转变,有丝分裂增强,血管基质增加,VSMCs 过度增殖和迁移<sup>[12]</sup>;机体内多种蛋白质在高血糖状态下非酶氧化生成糖基化终末产物(AGEs)可损害血管平滑肌细胞外基质和细胞功能<sup>[13]</sup>,最终导致血管病变。高糖高胰岛素培养可引起 VSMCs 异常增殖<sup>[14]</sup>。另有研究证实,PPAR-γ 激动剂吡格列酮能抑制高糖高胰岛素刺激引起的 VSMCs 过度增殖,其作用机制与增强一氧化氮合酶活性有关<sup>[15]</sup>。本实验的结果表明,高糖高胰岛素模拟胰岛素抵抗的机体内环境可引起 VSMCs 异常增殖,同时糖消耗量明显降低。吡格列酮和 CAR 均能显著性抑制 VSMCs 增殖,增加细胞的糖消耗量。因此,推测 CAR 能改善胰岛素抵抗 VSMCs 糖代谢,降低糖含量,进而逆转高糖诱导的血管异常增殖。

糖酵解是糖代谢的核心途径,此过程需要多种代谢酶的参与,其中存在三个关键的限速酶:己糖激酶、6-磷酸果糖激酶-1 和丙酮酸激酶。己糖激酶为第一个限速酶,在糖酵解的起始过程中极为重要。研究表明,在 IR 状态下,胰岛素受体底物-1

(IRS-1) 酪氨酸磷酸化降低可引起己糖激酶 mRNA 表达和活性降低<sup>[16]</sup>。本实验结果显示,CAR 剂量依赖性增强己糖激酶活性,并且高剂量组( $10^5 \text{ mol.L}^{-1}$ )作用强于吡格列酮。mTOR 是胰岛素信号通路中的重要分子,研究表明其高度活化是 IR 产生的主要原因<sup>[17]</sup>,靶向抑制 mTOR 可增强 IRS-1 酪氨酸磷酸化,改善糖代谢酶活性<sup>[18]</sup>。郑炜<sup>[5]</sup>、Liao<sup>[6]</sup>等的研究表明 CAR 的作用机制可能与抑制 mTOR 密切相关,进一步证实 CAR 可调节糖代谢酶的活性。而吡格列酮主要通过激活 PPAR-γ 增强机体对胰岛素的敏感性,对代谢酶的作用较弱。

本研究证实 CAR 能增强己糖激酶活性,改善胰岛素抵抗状态 VSMCs 糖代谢;同时抑制高糖高胰岛素刺激引起的 VSMCs 异常增殖。因此,CAR 在治疗糖尿病及其血管并发症方面具有广阔的应用前景,可望成为新型药物研究的方向,进一步探讨其作用机制具有重要意义。

#### 参考文献(References)

- [1] Schulman IH, Zhou MS. Vascular insulin resistance: a potential link between cardiovascular and metabolic diseases [J]. Curr Hypertens Rep, 2009, 11(1):48-55
- [2] He YQ, Yang L, Liu Y, et al. Characterization of cardamonin metabolism by P450 in different species via HPLC-ESI-ion trap and UPLC-ESI-quadrupole mass spectrometry [J]. Acta Pharmacol Sin, 2009, 30 (10):1462-1470
- [3] Wang ZT, Lau CW, Chan FL, et al. Vasorelaxant effects of cardamonin and alpinetin from Alpinia henryi K. Schum [J]. J Cardiovasc Pharmacol, 2001, 37(5):596-606
- [4] Fusi F, Cavalli M, Mulholland D, et al. Cardamonin is a bifunctional vasodilator that inhibits Ca ( $\text{v}$ )1.2 current and stimulates K(Ca)1.1 current in rat tail artery myocytes [J]. J Pharmacol Exp Ther, 2010, 332(2):531-540
- [5] 郑炜, 史道华, 纪相福, et al. 小豆蔻明对人脐动脉平滑肌细胞增殖的影响及机制研究 [J]. 中国中药杂志, 2010, 35(17):2318-2323  
Zheng Wei, Shi Dao-hua, Ji Xiang-fu, et al. Antiproliferation of cardamonin associated with mRNA expression of mTOR, Raptor and Rictor [J]. China Journal of Chinese Materia Medica, 2010, 35(17): 2318-2323
- [6] Liao Q, Shi DH, Zheng W, et al. Antiproliferation of cardamonin is involved in mTOR on aortic smooth muscle cells in high fructose-induced insulin resistance rats [J]. Eur J Pharmacol, 2010, 641 (2-3): 179-186
- [7] Lee JY, Cho HK, Kwon YH. Palmitate induces insulin resistance without significant intracellular triglyceride accumulation in HepG2 cells [J]. Metabolism, 2010, 59(7):927-934
- [8] Bastard JP, Faraj M, Karelis AD, et al. Muscle and liver insulin resistance indexes derived from the oral glucose tolerance test: response to Abdul-Ghani [J]. Diabetes Care, 2007, 30(7):e83
- [9] Adochio R, Leitner JW, Hedlund R, et al. Rescuing 3T3-L1 adipocytes from insulin resistance induced by stimulation of Akt-mammalian target of rapamycin/p70 S6 kinase (S6K1) pathway and serine phosphorylation of insulin receptor substrate-1: effect of reduced expression of p85alpha subunit of phosphatidylinositol 3-kinase and S6K1 kinase [J]. Endocrinology, 2009, 150(3):1165-1173
- [10] Chen Y, Li Y, Wang Y, et al. Berberine improves free-fatty-acid-induced insulin resistance in L6 myotubes through inhibiting peroxisome proliferator-activated receptor gamma and fatty acid transferase expressions [J]. Metabolism, 2009, 58(12):1694-1702
- [11] Begum N, Ragolia L. High glucose and insulin inhibit VSMC MKP-1 expression by blocking iNOS via p38 MAPK activation [J]. Am J Physiol Cell Physiol, 2000, 278(1):C81-91
- [12] Huang CN, Chan KC, Lin WT, et al. Hibiscus sabdariffa inhibits vascular smooth muscle cell proliferation and migration induced by high glucose--a mechanism involves connective tissue growth factor signals [J]. J Agric Food Chem, 2009, 57(8):3073-3079
- [13] Orasanu G, Plutzky J. The pathologic continuum of diabetic vascular disease [J]. J Am Coll Cardiol, 2009, 53(5 Suppl):S35-42
- [14] Cifarelli V, Luppi P, Tse HM, et al. Human proinsulin C-peptide reduces high glucose-induced proliferation and NF-kappaB activation in vascular smooth muscle cells [J]. Atherosclerosis, 2008, 201(2): 248-257
- [15] 陈鹭颖, 徐江平, 庞建新, et al. 一氧化氮部分介导吡格列酮抑制培养兔胸主动脉平滑肌细胞增殖 [J]. 中国临床药理学与治疗学, 2005, 10(6):642-645  
Chen Lu-ying, Xu Jiang-ping, Pang Jian-xin, et al. Antiproliferative effects of pioglitazone involved of nitric oxide on cultured rabbit aortic smooth muscle cells [J]. Chinese Journal of Clinical Pharmacology and Therapeutics, 2005, 10(6):642-645
- [16] Maiztegui B, Borelli MI, Raschia MA, et al. Islet adaptive changes to fructose-induced insulin resistance: beta-cell mass, glucokinase, glucose metabolism, and insulin secretion [J]. J Endocrinol, 2009, 200 (2):139-149
- [17] Wang X, Yu W, Nawaz A, et al. Palmitate Induced Insulin Resistance by PKCtheta-Dependent Activation of mTOR/S6K Pathway in C2C12 Myotubes [J]. Exp Clin Endocrinol Diabetes, 2010, 118(9):657-661
- [18] O'Reilly KE, Rojo F, She QB, et al. mTOR inhibition induces upstream receptor tyrosine kinase signaling and activates Akt [J]. Cancer Res, 2006, 66(3):1500-1508